

# СОДЕРЖАНИЕ

<b>ВВЕДЕНИЕ</b>	<b>4</b>
<b>1 Технологический раздел</b>	<b>6</b>
1.1. Формализация задачи	6
1.2. Средства реализации	7
1.3. Обучение нейросетевой модели	8
1.4. Функция потерей	9
1.5. Пользовательский интерфейс	11
1.6. Демонстрация работы программы	12
1.7. Тестирование программного обеспечения	13
<b>2 Исследовательский раздел</b>	<b>15</b>
2.1. Сравнение результатов, полученных методом, с результатами других методов	15
2.2. Проведение тестирования метода на корпусе данных	15
2.3. Эффективность метода размытия на реальных изображениях	16
<b>СПИСОК ИСПОЛЬЗОВАННЫХ ИСТОЧНИКОВ</b>	<b>19</b>
<b>ПРИЛОЖЕНИЕ А Реализации архитектура сети</b>	<b>20</b>

## ВВЕДЕНИЕ

Устранение размытия изображения — это задача, в которой главной целью является устранение элементов, вызывающих размытость, и улучшение качества изображения для более ясной визуализации текстур и объектов [1], с другой точки зрения в задаче рассматривается улучшение текстуры и качество изображений для дальнейшего использования в задачах машинного зрения, таких как обнаружение объектов и сегментация изображений, шум и атмосферные помехи, движение объектов, дрожание камеры и оборудование для расфокусировки являются распространенными источниками ухудшения качества изображения [2].

Устранение размытия изображения остается значимой задачей в сфере обработки изображений и компьютерного зрения. С развитием фотографии и видеосъемки возникает постоянная потребность в повышении качества изображений, особенно в условиях недостаточного освещения, движущихся объектов и других факторов, способных вызвать размытие. Методы улучшения четкости изображений постоянно совершенствуются, включая разработки в области машинного и глубокого обучения, что позволяет достигать более точных и эффективных результатов [3]. Поэтому задача привлекает внимание исследователей и разработчиков программного обеспечения. Применение улучшенных изображений находит свое применение в различных областях, включая медицину, робототехнику, автомобильную промышленность и другие. Также стоит отметить, что улучшение качества изображений играет важную роль в раскрытии и расследовании преступлений. Более четкое изображение может существенно улучшить возможности идентификации объектов и лиц, что помогает в расследовании криминальных деяний [4].

Существует ряд алгоритмов, решающих данную задачу, но в последние десятилетия все разработанные методы, обычно используемые в области обработки изображений и компьютерного зрения, применяют в своих архитектурах нейронные сети и показывают наилучшие результаты по сравнению с классическими алгоритмами [5].

**Цель** данной преддипломной практики является разработка программно-алгоритмического комплекса метода устранения размытия изображения с применением нейронных сетей.

**Задачи:**

- Разработка программного обеспечения, метода и выбора корпусов данных;
- Обучение и валидация сети;
- Тестирование сети;
- Проведение анализа метода по объективным метрикам;
- Составление таблиц с результатами.

# 1 Технологический раздел

## 1.1. Формализация задачи

В данном подразделе рассмотрим формализацию задачи восстановления размытия изображений с применением нейронной сети.

На рисунке (1.1) представлено, формализация задачи восстановление размытие изображение нулевой уровень преобразований:

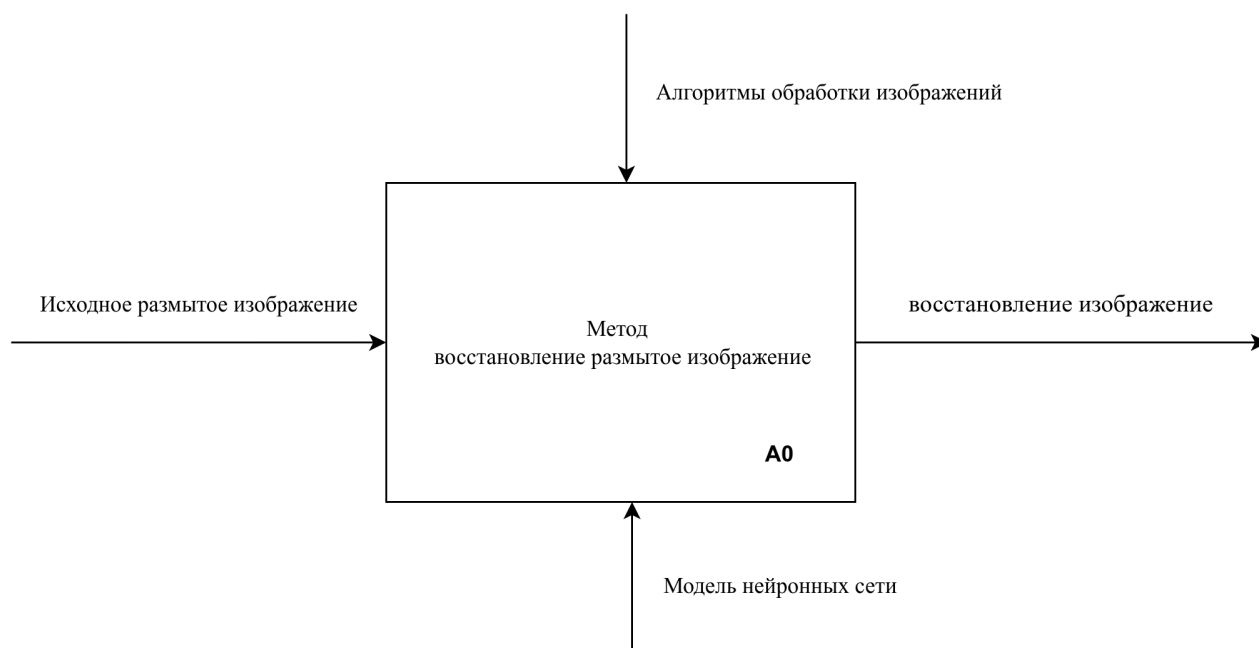


Рис. 1.1 – Формализация задачи восстановление размытие изображение нулевой уровень преобразований

На рисунке (1.2) представлено, формализация задачи восстановление размытие изображение первый уровень преобразований:

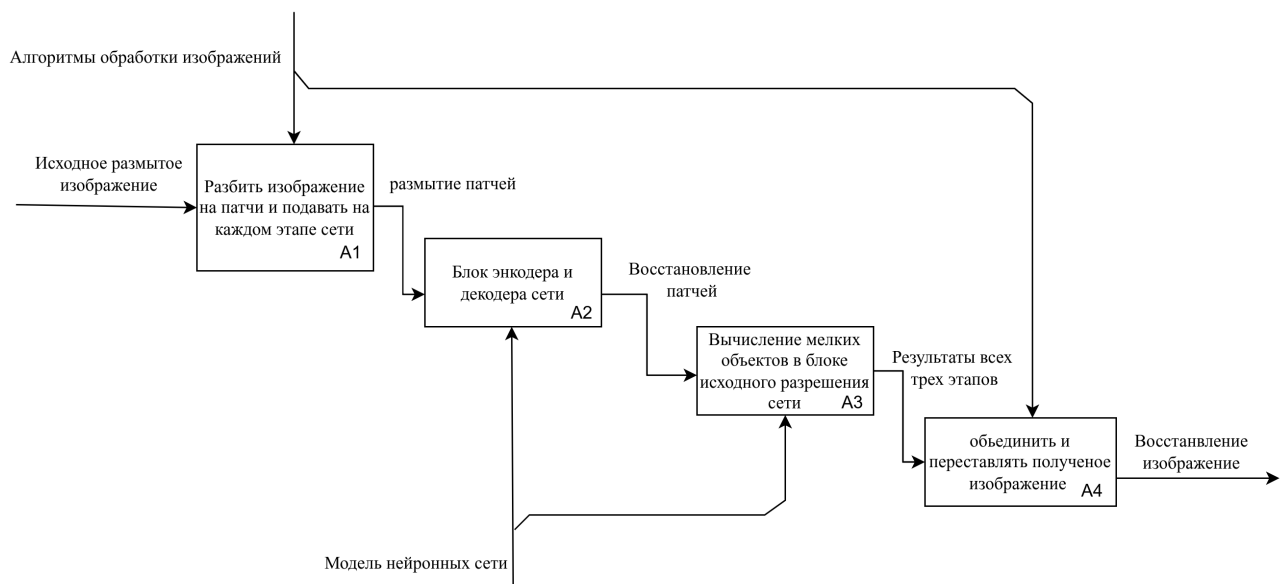


Рис. 1.2 – Формализация задачи восстановления размытого изображения первый уровень преобразований

## 1.2. Средства реализации

### Выбор языка программирования

В качестве языка программирования выбран *Python* [6] по следующим причинам:

- *Python* обладает широким набором библиотек для реализации нейросетевых моделей;
- Существующие библиотеки позволяют ускорить обучение нейросетевых моделей за счёт параллельных вычислений и использования возможностей графического процессора.

Кроме того, язык программирования *Python* обеспечивает обширный спектр библиотек для работы с изображениями, что упрощает их обработку. Это становится необходимым при разделении изображения на несколько патчей и последующем объединении результатов после применения методов обработки к каждому патчу.

### Выбор библиотеки для реализации нейросетевых моделей

Для реализации нейросетевой модели была выбрана библиотека *PyTorch* [7], которая обеспечивает возможность использования графического процессора

для вычислений с помощью средства параллельных вычислений *CUDA* [8]. Кроме того, данная библиотека предоставляет легкий интерфейс для реализации нейросетевых моделей.

Для работы с изображениями, такими как разделение на патчи и объединение результатов, была выбрана библиотека *Pillow* [9], которая предоставляет возможность работы с изображениями на языке программирования *Python*.

## Аппаратные характеристики

Аппаратные характеристики машина на котором проводилось обучение сети такие:

- ЦПУ: Intel Core i7 8750H 2.2 ГГц [10];
- Операционная система: Ubuntu 20.04 Long Term Support [11];
- Графический процессор: GeForce RTX 1080 Ti [12];
- Оперативная память: 16 Гб.

### 1.3. Обучение нейросетевой модели

Перед обучением сети изображения из корпуса GoPro [13] были разделены на две выборки. Общее количество изображений в корпусе GoPro составляет 3206 пар. Изображения были разделены в соотношении 2:1, где 2103 пары были выбраны для обучения, а 1103 пары для валидации. Обучение сети проводилось в течение 7 часов и 43 минут на протяжении 100 эпох и количество параметров весов получилось 20127073. Кроме того, разрешение изображений в корпусе GoPro составляет 1280x720. Из-за низких аппаратных характеристик машины, на которой проводилось обучение сети, разрешение изображений было снижено до 480x360.

Скрипт на языке *Python* (листинг 1.1), для снижения разрешения изображений:

Листинг 1.1 – Скрипт для снижения разрешения изображений

```
1 def resize_image(input_path, output_path, target_width, target_height):  
2     with Image.open(input_path) as img:  
3         resized_img = img.resize((target_width, target_height))  
4         resized_img.save(output_path)  
5
```

```

6  dirs = {
7      "./GoPro/test/input": "./GoPro/test/inputEdit",
8      "./GoPro/test/target": "./GoPro/test/targetEdit",
9      "./GoPro/train/input": "./GoPro/train/inputEdit",
10     "./GoPro/train/target": "./GoPro/train/targetEdit",
11     "./HIDE/test/input": "./HIDE/test/inputEdit",
12     "./HIDE/test/target": "./HIDE/test/targetEdit",
13 }
14
15 width, height = 480, 360
16 for input_dir, output_dir in dirs.items():
17     for filename in os.listdir(input_dir):
18         input_path = os.path.join(input_dir, filename)
19         output_path = os.path.join(output_dir, filename)
20         resize_image(input_path, output_path, width, height)

```

## 1.4. Функция потерей

Основной целью архитектуры MPRNet является вычисление потерь Шарбонье  $L_{char}$  и потерь края  $L_{edge}$ . Потеря Шарбонье вычисляется как попиксельная разница между предсказанным и восстановленным изображениями, а потеря края фокусируется на количественной оценке разницы в высокочастотных деталях между предсказанными и достоверными изображениями.

На листинге (1.4), представлено реализации функций потерей:

Листинг 1.2 – Реализации функции потерей

```

1  class CharbonnierLoss(nn.Module):
2      def __init__(self, eps=1e-3):
3          super(CharbonnierLoss, self).__init__()
4          self.eps = eps
5
6      def forward(self, x, y):
7          diff = x - y
8          loss = torch.mean(torch.sqrt((diff * diff) + (self.eps*self.eps)))
9          return loss
10
11  class EdgeLoss(nn.Module):
12      def __init__(self):
13          super(EdgeLoss, self).__init__()
14          k = torch.Tensor([[.05, .25, .4, .25, .05]])
15          self.kernel = torch.matmul(k.t(), k).unsqueeze(0).repeat(3,1,1,1)
16          if torch.cuda.is_available():
17              self.kernel = self.kernel.cuda()
18          self.loss = CharbonnierLoss()
19

```

```

20 def conv_gauss(self, img):
21     n_channels, _, kw, kh = self.kernel.shape
22     img = F.pad(img, (kw//2, kh//2, kw//2, kh//2), mode='replicate')
23     return F.conv2d(img, self.kernel, groups=n_channels)
24
25 def laplacian_kernel(self, current):
26     filtered = self.conv_gauss(current)
27     down = filtered[:, :, ::2, ::2]
28     new_filter = torch.zeros_like(filtered)
29     new_filter[:, :, ::2, ::2] = down*4
30     filtered = self.conv_gauss(new_filter)
31     diff = current - filtered
32     return diff
33
34 def forward(self, x, y):
35     loss = self.loss(self.laplacian_kernel(x), self.laplacian_kernel(y))
36     return loss

```

При обучении сети на каждой эпохе после того, как модель дает восстановленное изображение, производится вычисление потерь шарбонье и потерь края, которые затем суммируются как общая потеря модели.

На рисунке (1.3), представлены графики потерь Шарбонье и потерь края на каждой эпохе:

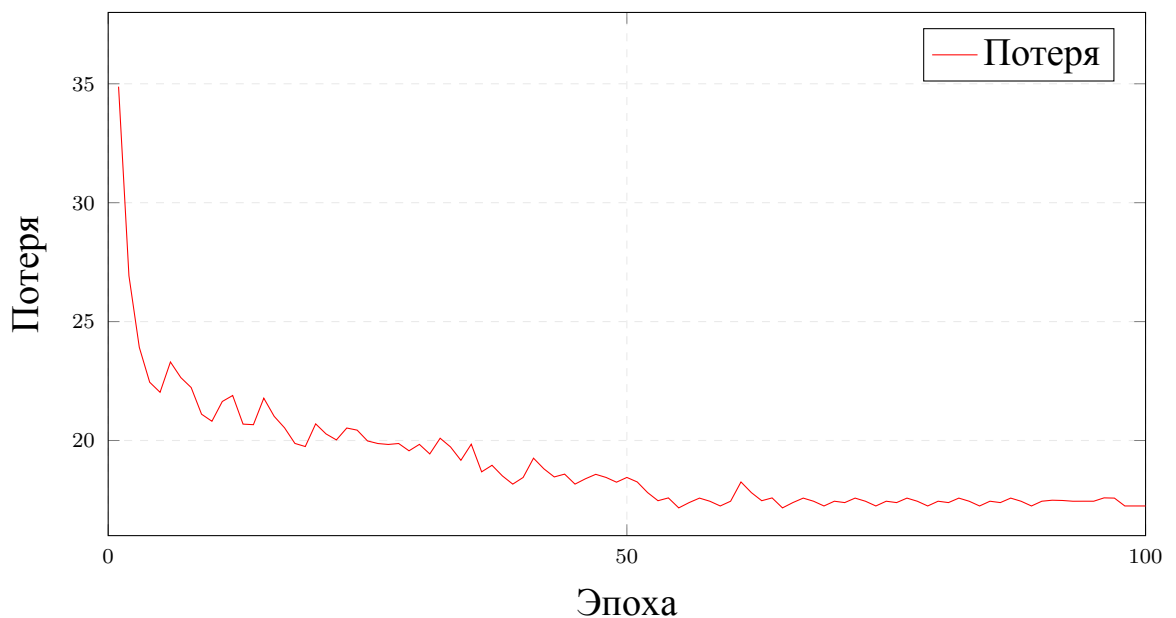


Рис. 1.3 – Потеря MPRNet на протяжении эпох

После каждых трёх эпох проводилась валидация сети, и вычислялось значение объективной метрики PSNR для полученного результата от сети.

На рисунке (1.4) представлены графики средних значений PSNR, получен-



ных после каждых трёх эпох проведения валидации сети.

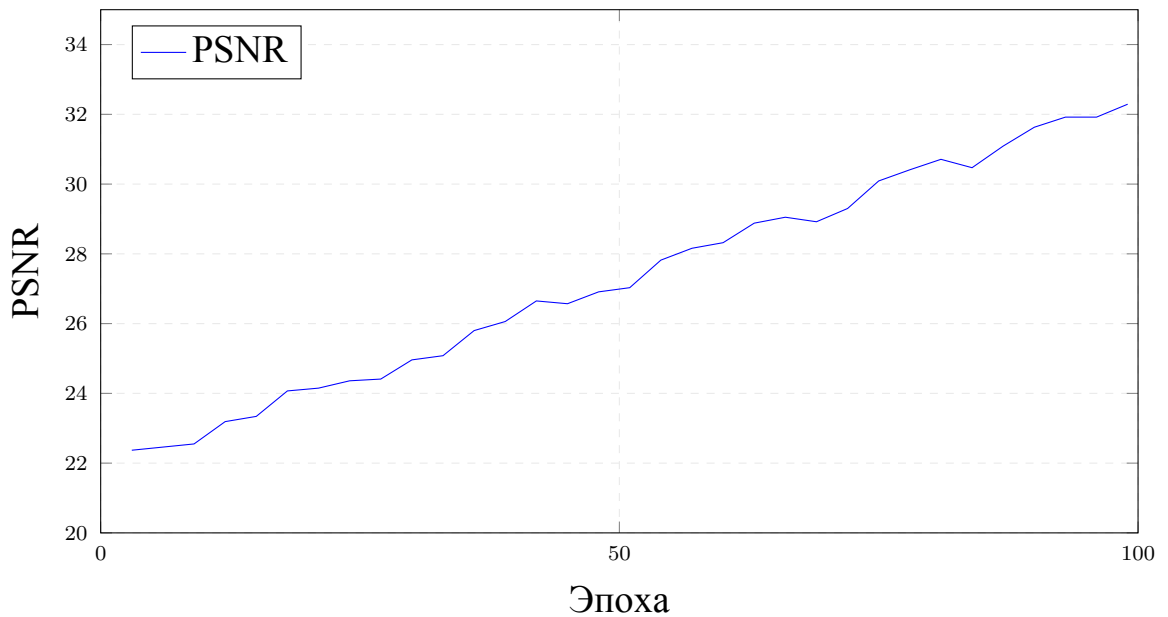


Рис. 1.4 – Средние значения PSNR, полученные MPRNet в процессе валидации сети

## 1.5. Пользовательский интерфейс

Так как программа будет работать в трех режимах обучения, валидации и оценке пользовательский интерфейс реализован в виде *CLI*, где пользователь перед запуском указывает желаемый режим работы программы и пути к входным и выходным данным.

На листинге (1.4), представлено реализации интерфейса командной строки:

### Листинг 1.3 – Реализация интерфейса командной строки часть 1

```
1 usage: main.py [-h] [--mode {train,predict}] [--input_dir INPUT_DIR]
2               [--result_dir RESULT_DIR] [--weights WEIGHTS]
3               [--dataset DATASET] [--gpus GPUS] [--config CONFIG]
4
5 Image Deblurring using MPRNet
6
7 optional arguments:
8   -h, --help            show this help message and exit
9   --mode {train,predict}
10                        Mode: train or predict
11   --input_dir INPUT_DIR
12                        Directory of input images
13   --result_dir RESULT_DIR
14                        Directory for results
```

15	--weights WEIGHTS	Path to weights
16	--dataset DATASET	Dataset for testing or validation

## Листинг 1.4 – Реализация интерфейса командной строки часть 2

1	--gpus GPUS	CUDA_VISIBLE_DEVICES
2	--config CONFIG	Path to training configuration file

Также можно указывать параметры обучения через конфигурационный файл (*training.yml*).

На листинге (1.5), представлен содержимое конфигурационного файла:

## Листинг 1.5 – Содержимое конфигурационного файла

```

1 GPU: [0,1,2,3]
2
3 OPTIM:
4     BATCH_SIZE: 16
5     NUM_EPOCHS: 200
6     LR_INITIAL: 2e-4
7     LR_MIN: 1e-6
8
9 TRAINING:
10    VAL_AFTER_EVERY: 5
11    RESUME: False
12    TRAIN_PS: 256
13    VAL_PS: 256
14    TRAIN_DIR: './Datasets/GoPro/train'
15    VAL_DIR: './Datasets/GoPro/test'
16    SAVE_DIR: './checkpoints'
```

## 1.6. Демонстрация работы программы

Для запуска программы в режиме оценки необходимо указать программе путь к входному изображению. Пользователь также должен указать путь к папке, где будут сохраняться результаты. Режим оценки модели проводится с использованием заранее обученных весов, а результатом является восстановленное изображение. На листинге 1.6 представлен пример работы программы.

## Листинг 1.6 – Пример работы программы

1	\$ python main.py --mode=predict --input_dir=testImgs --result_dir=testResult
2	Files saved at testResult.

На рисунке 1.5 представлен пример исходного и полученного изображений из сети.



Исходное изображение



Восстановленное изображение

Рис. 1.5 – Пример работы программы

## 1.7. Тестирование программное обеспечения

Как было ранее указано, одним из требований MPRNet является то, что входное изображение должно быть одинаково разделено на четыре части. Поэтому в режиме оценки любое изображение, подаваемое на вход, дополняется нулевыми пикселями. После того как сеть выдает результат, эти дополненные пиксели удаляются, и предоставляется разрешение, которое было подано на вход сети. Кроме того, можно проводить тестирование сети следующим образом:

1. После нескольких эпох обучения сети можно приостановить обучение на обучающей выборке и проводить тестирование сети на списке изображений валидационной выборки. Таким образом, можно оценить работу метода на этапе обучения;
2. С помощью обученных параметров весов можно проводить тестирование на некоторых парах изображений и оценить работу метода после прохождения этапа обучения. С использованием объективных метрик можно оценить работу метода после обучения;
3. Пользователь может сам выбрать одно или несколько изображений и провести оценку работы метода относительно выбранных изображений.

## Вывод

В данном разделе проводилось описание выбранных средств реализации, аппаратных характеристик, процесса обучения нейросетевой модели и методов тестирования программного обеспечения.

Для реализации нейросетевой модели был выбран язык программирования Python, который обладает богатым набором библиотек для работы с нейросетями и обработки изображений, обучение нейросетевой модели проводилось на корпусе изображений GoPro, разрешение изображений было снижено для ускорения обучения.

Функция потерь модели включает в себя потерю Шарбонье и потерю края, которые оценивают разницу между предсказанными и исходными изображениями как по содержанию, так и по деталям.

Для тестирования программного обеспечения были разработаны методы, позволяющие оценить работу модели на различных этапах обучения, включая тестирование на валидационной выборке и отдельных изображениях.

## 2 Исследовательский раздел

### 2.1. Сравнение результатов, полученных методом, с результатами других методов

Для достижения данной цели были использованы обученные веса для сети, которые были получены в аналитическом разделе. Затем было проведено устранение размытия. Далее было вычислено значение метрики  $PSNR$  для оценки эффективности разработанного метода.

На рисунке 2.1 представлено изображение, которое было использовано для проведения оценки эффективности метода.

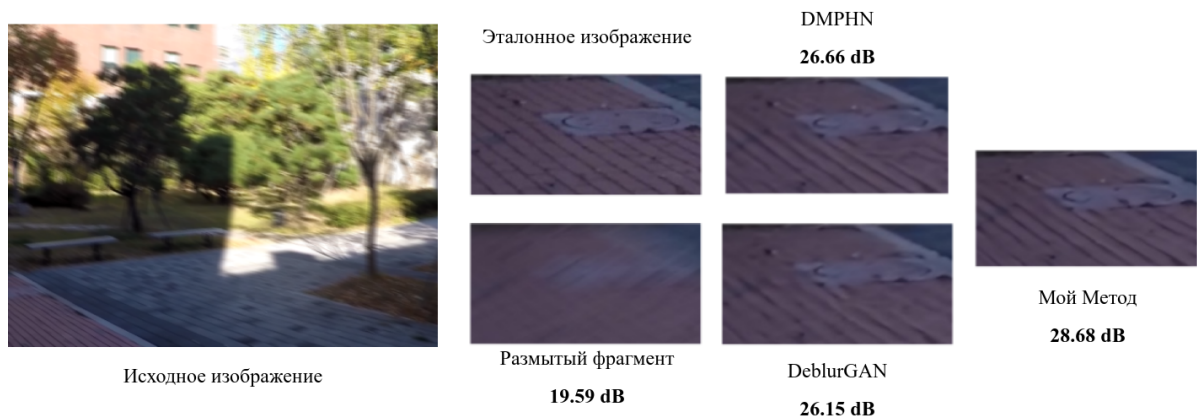


Рис. 2.1 – Изображение для оценки эффективности разработанного метода

В итоге полученное значение  $PSNR$  составило 28.68 децибела, что показывает значительное улучшение работы разработанного метода, в то время как для выбранное изображение *DMPHN* дает 26.66, а *DeblurGAN* - 26.15.

### 2.2. Проведение тестирования метода на корпусе данных

Для достижения данной цели был выбран еще один корпус данных *HIDE*, изображения которого не присутствовали в обучающем наборе данных, а также 1/3 часть изображений из корпуса данных *GoPro*, которые также не использовались при обучении сети. Для сравнения эффективности метода, аналогично предыдущему подразделу, было проведено устранение размытия с использованием обученных весов сети, после чего было выполнено сравнение метрик  $PSNR$  и  $SSIM$  относительно эталонного изображения и изображения, полученного из сети. Затем было рассмотрено среднее значение метрик  $PSNR$  и  $SSIM$ . В данном исследовании был проведен сравнительный анализ средних значений метрик

$PSNR$  и  $SSIM$  относительно изображений, использованных для тестирования сети.

В таблице (2.1) представлен средние значения объективных метрик  $PSNR$  и  $SSIM$  относительно корпусов данных *GoPro* и *HIDE*.

Таблица 2.1 – Средние значения объективных метрик, полученные с использованием обученных весов сети, относительно корпусы данных *GoPro* и *HIDE*

Метод \ Метрика	GoPro		HIDE	
	PSNR	SSIM	PSNR	SSIM
<b>DeblurGAN</b>	31.10	0.942	28.94	0.915
<b>DMPHN</b>	31.20	0.940	29.09	0.924
<b>MPRNet</b>	32.66	0.959	30.96	0.939

Как видно из полученных результатов метрик  $PSNR$  и  $SSIM$ , разработанный метод не только в деталях демонстрирует хорошие результаты, но также по значению объективных метрик превосходит другие методы и показывает наилучшие результаты.

### 2.3. Эффективность метода размытия на реальных изображениях

Для достижения этой цели было выбрано изображение из корпуса данных *RealBlur* [14]. Все изображения в этом корпусе сняты с помощью мобильных камер или фотоаппаратов. Разрешение этих изображений различно, и изображение делится на две категории:

1. *RealBlur-R*;
2. *RealBlur-J*.

Изображения в категории *RealBlur-R* создавались в автономном режиме путем применения к необработанным изображениям операций по балансу белого, демозакладке и уменьшению шума, а изображения в категории *RealBlur-J* формировались с помощью снятых изображений камеры в формате JPEG.

Было проведено тестирование на обеих этих категории, результат средние значение объективных метриков, полученного с помощью обучении весами сети на данные из корпуса данных *GoPro*, представлен на таблице 2.2.

Таблица 2.2 – Средние значения объективных метрик, полученные с использованием обученных весов сети, относительно корпуса данных *RealBlur*

Метрика Метод	RealBlur-R		RealBlur-J	
	PSNR	SSIM	PSNR	SSIM
<b>DeblurGAN</b>	33.79	0.903	33.79	0.903
<b>DMPHN</b>	35.70	0.948	35.70	0.948
<b>MPRNet</b>	35.99	0.952	35.99	0.952

Исходя из полученных значений, можно сделать вывод, что метод хорошо справляется с изображениями из реального мира, поскольку корпус данных *RealBlur* содержит изображения, снятые с разных видов фотоаппаратов и разных разрешений. Однако, если обучить сеть на этих данных, то можно получить лучшие результаты.

## Вывод

В данном разделе был проведен сравнительный анализ разработанного метода относительно других методов. Было проведено тестирование сети на реальных изображениях и сгенерированных размытых изображениях. В итоге были составлены таблицы с полученными результатами. По полученным данным можно сделать вывод, что метод хорошо справляется с изображениями, снятыми с разных видов фотоаппаратов и различных разрешений. Однако, чтобы гарантировать работу метода на различных видах изображений, лучшим способом является обучение сети на этих изображениях.

## СПИСОК ИСПОЛЬЗОВАННЫХ ИСТОЧНИКОВ

1. Deep Semantic Face Deblurring / Z. Shen [и др.]. — 2018. — arXiv: 1803.03345 [cs.CV].
2. *Krishnan D., Fergus R.* Fast Image Deconvolution using Hyper-Laplacian Priors // *Advances in Neural Information Processing Systems*. Т. 22 / под ред. Y. Bengio [и др.]. — Curran Associates, Inc., 2009. — Режим доступа, URL: [https://proceedings.neurips.cc/paper\\_files/paper/2009/file/3dd48ab31d016ffcbf3314df2b3cb9ce-Paper.pdf](https://proceedings.neurips.cc/paper_files/paper/2009/file/3dd48ab31d016ffcbf3314df2b3cb9ce-Paper.pdf).
3. *Lian Z., Wang H.* An image deblurring method using improved U-Net model based on multilayer fusion and attention mechanism // *Scientific Reports*. — 2023. — Дек. — Т. 13, № 1. — С. 21402. — ISSN 2045-2322. — DOI: 10.1038/s41598-023-47768-4. — Режим доступа, URL: <https://doi.org/10.1038/s41598-023-47768-4>.
4. *Sun S. J., Wu Q., Li G. H.* Image Deblurring Algorithm for Overlap-Blurred Image // *Advanced Measurement and Test X*. Т. 439. — Trans Tech Publications Ltd, 10.2010. — С. 493—498. — (Key Engineering Materials). — DOI: 10.4028/www.scientific.net/KEM.439-440.493.
5. Deep Image Deblurring: A Survey / K. Zhang [и др.]. — 2022. — arXiv: 2201.10700 [cs.CV].
6. Python Programming Language. — Дата обращения: 02.05.2024. <https://www.python.org/>.
7. PyTorch: An Imperative Style, High-Performance Deep Learning Library / A. Paszke [и др.]. — 2019. — Дата обращения: 09.05.2024. <https://pytorch.org/>.
8. *Corporation N.* NVIDIA CUDA Software and GPU Parallel Computing Architecture. — 2011. — Дата обращения: 09.05.2024. <https://developer.nvidia.com/cuda-zone>.
9. *Clark F.* Python Imaging Library (PIL) / PythonWare. — 2002. — Режим доступа, URL: <https://python-pillow.org/> ; Дата обращения: 09.05.2024.
10. Intel Core i7-8750H 2.2 GHz Processor. — Дата обращения: 10.05.2024. <https://ark.intel.com/content/www/us/en/ark/products/134906/intel-core-i7-8750h-processor-9m-cache-up-to-4-10-ghz.html>.



11. *Canonical Ltd.* Ubuntu 20.04 LTS. — 2020. — Дата обращения: 10.05.2024.  
<https://releases.ubuntu.com/20.04/>.
12. Nvidia GeForce GTX 1080 Ti video card. — Дата обращения: 10.05.2024.  
<https://www.nvidia.com/en-us/geforce/products/10series/geforce-gtx-1080-ti/>.
13. *Nah S., Hyun Kim T., Mu Lee K.* Deep multi-scale convolutional neural network for dynamic scene deblurring // Proceedings of the IEEE conference on computer vision and pattern recognition. — 2017. — С. 3883—3891.
14. Real-world blur dataset for learning and benchmarking deblurring algorithms / J. Rim [и др.] // Computer Vision—ECCV 2020: 16th European Conference, Glasgow, UK, August 23–28, 2020, Proceedings, Part XXV 16. — Springer. 2020. — С. 184—201.

## ПРИЛОЖЕНИЕ А

### Реализации архитектура сети

Листинг 2.1 – Сверточный модуль/блок внимания (CAB)

```
1 class CAB(nn.Module):
2     def __init__(self, n_feat, kernel_size, reduction, bias, act):
3         super(CAB, self).__init__()
4         modules_body = []
5         modules_body.append(conv(n_feat, n_feat, kernel_size, bias=bias))
6         modules_body.append(act)
7         modules_body.append(conv(n_feat, n_feat, kernel_size, bias=bias))
8
9         self.CA = CALayer(n_feat, reduction, bias=bias)
10        self.body = nn.Sequential(*modules_body)
11
12    def forward(self, x):
13        res = self.body(x)
14        res = self.CA(res)
15        res += x
16        return res
```

Листинг 2.2 – Модуль внимания канала (CAB)

```
1 class CALayer(nn.Module):
2     def __init__(self, channel, reduction=16, bias=False):
3         super(CALayer, self).__init__()
4         self.avg_pool = nn.AdaptiveAvgPool2d(1)
5         self.conv_du = nn.Sequential(
6             nn.Conv2d(channel, channel // reduction, 1,
7                       padding=0, bias=bias),
8             nn.ReLU(inplace=True),
9             nn.Conv2d(channel // reduction, channel, 1,
10                      padding=0, bias=bias),
11             nn.Sigmoid()
12        )
13
14    def forward(self, x):
15        y = self.avg_pool(x)
16        y = self.conv_du(y)
17        return x * y
```

## Листинг 2.3 – Подсеть исходного разрешения (ORSNet) часть 1

```
1 class ORSNet(nn.Module):
2     def __init__(self, n_feat, scale_orsnetfeats, kernel_size,
3         reduction, act, bias, scale_unetfeats, num_cab):
4         super(ORSNet, self).__init__()
5
6         self.orb1 =
7             ORB(n_feat+scale_orsnetfeats, kernel_size,
8                 reduction, act, bias, num_cab)
9         self.orb2 =
10             ORB(n_feat+scale_orsnetfeats, kernel_size,
11                 reduction, act, bias, num_cab)
12         self.orb3 =
13             ORB(n_feat+scale_orsnetfeats, kernel_size,
14                 reduction, act, bias, num_cab)
15
16         self.up_enc1 = UpSample(n_feat, scale_unetfeats)
17         self.up_dec1 = UpSample(n_feat, scale_unetfeats)
18
19         self.up_enc2 =
20             nn.Sequential(UpSample(n_feat+scale_unetfeats, scale_unetfeats),
21                 UpSample(n_feat, scale_unetfeats))
22         self.up_dec2 =
23             nn.Sequential(UpSample(n_feat+scale_unetfeats, scale_unetfeats),
24                 UpSample(n_feat, scale_unetfeats))
25
26         self.conv_enc1 =
27             nn.Conv2d(n_feat, n_feat+scale_orsnetfeats,
28                 kernel_size=1, bias=bias)
29         self.conv_enc2 =
30             nn.Conv2d(n_feat, n_feat+scale_orsnetfeats,
31                 kernel_size=1, bias=bias)
32         self.conv_enc3 =
33             nn.Conv2d(n_feat, n_feat+scale_orsnetfeats,
34                 kernel_size=1, bias=bias)
35
36         self.conv_dec1 =
37             nn.Conv2d(n_feat, n_feat+scale_orsnetfeats,
38                 kernel_size=1, bias=bias)
39         self.conv_dec2 =
40             nn.Conv2d(n_feat, n_feat+scale_orsnetfeats,
41                 kernel_size=1, bias=bias)
42         self.conv_dec3 =
43             nn.Conv2d(n_feat, n_feat+scale_orsnetfeats,
44                 kernel_size=1, bias=bias)
```

## Листинг 2.4 – Подсеть исходного разрешения (ORSNet) часть 2

```
1     def forward(self, x, encoder_outs, decoder_outs):
2         x = self.orb1(x)
3         x = x + self.conv_enc1(encoder_outs[0]) +
4             self.conv_dec1(decoder_outs[0])
5
6         x = self.orb2(x)
7         x = x + self.conv_enc2(self.up_enc1(encoder_outs[1])) +
8             self.conv_dec2(self.up_dec1(decoder_outs[1]))
9
10        x = self.orb3(x)
11        x = x + self.conv_enc3(self.up_enc2(encoder_outs[2])) +
12            self.conv_dec3(self.up_dec2(decoder_outs[2]))
13
14        return x
```

## Листинг 2.5 – Кодировщик UNet часть 1

```
1     class Encoder(nn.Module):
2         def __init__(self, n_feat, kernel_size, reduction, act,
3             bias, scale_unetfeats, csff):
4             super(Encoder, self).__init__()
5
6             self.encoder_level1 = [CAB(n_feat, kernel_size,
7                 reduction, bias=bias, act=act) for _ in range(2)]
8             self.encoder_level2 = [CAB(n_feat+scale_unetfeats, kernel_size,
9                 reduction, bias=bias, act=act) for _ in range(2)]
10            self.encoder_level3 = [CAB(n_feat+(scale_unetfeats*2), kernel_size,
11                reduction, bias=bias, act=act) for _ in range(2)]
12
13            self.encoder_level1 = nn.Sequential(*self.encoder_level1)
14            self.encoder_level2 = nn.Sequential(*self.encoder_level2)
15            self.encoder_level3 = nn.Sequential(*self.encoder_level3)
16
17            self.down12 = DownSample(n_feat, scale_unetfeats)
18            self.down23 = DownSample(n_feat+scale_unetfeats, scale_unetfeats)
19
20            if csff:
21                self.csff_enc1 = nn.Conv2d(n_feat,
22                    n_feat, kernel_size=1, bias=bias)
23                self.csff_enc2 = nn.Conv2d(n_feat+scale_unetfeats,
24                    n_feat+scale_unetfeats, kernel_size=1, bias=bias)
25                self.csff_enc3 = nn.Conv2d(n_feat+(scale_unetfeats*2),
26                    n_feat+(scale_unetfeats*2), kernel_size=1, bias=bias)
27
28                self.csff_dec1 = nn.Conv2d(n_feat,
29                    n_feat, kernel_size=1, bias=bias)
```

## Листинг 2.6 – Кодировщик UNet часть 2

```
1         self.csff_dec2 = nn.Conv2d(n_feat+scale_unetfeats ,
2                                     n_feat+scale_unetfeats ,      kernel_size=1, bias=bias)
3         self.csff_dec3 = nn.Conv2d(n_feat+(scale_unetfeats*2),
4                                     n_feat+(scale_unetfeats*2), kernel_size=1, bias=bias)
5
6     def forward(self, x, encoder_outs=None, decoder_outs=None):
7         enc1 = self.encoder_level1(x)
8         if (encoder_outs is not None) and (decoder_outs is not None):
9             enc1 = enc1 + self.csff_enc1(encoder_outs[0]) +
10                self.csff_dec1(decoder_outs[0])
11
12         x = self.down12(enc1)
13
14         enc2 = self.encoder_level2(x)
15         if (encoder_outs is not None) and (decoder_outs is not None):
16             enc2 = enc2 + self.csff_enc2(encoder_outs[1]) +
17                self.csff_dec2(decoder_outs[1])
18
19         x = self.down23(enc2)
20
21         enc3 = self.encoder_level3(x)
22         if (encoder_outs is not None) and (decoder_outs is not None):
23             enc3 = enc3 + self.csff_enc3(encoder_outs[2]) +
24                self.csff_dec3(decoder_outs[2])
25
26         return [enc1, enc2, enc3]
```

## Листинг 2.7 – Декодер UNet часть 1

```
1     class Decoder(nn.Module):
2         def __init__(self, n_feat, kernel_size, reduction, act,
3                       bias, scale_unetfeats):
4             super(Decoder, self).__init__()
5
6             self.decoder_level1 = [CAB(n_feat,                      kernel_size,
7                                       reduction, bias=bias, act=act) for _ in range(2)]
8             self.decoder_level2 = [CAB(n_feat+scale_unetfeats,      kernel_size,
9                                       reduction, bias=bias, act=act) for _ in range(2)]
10            self.decoder_level3 = [CAB(n_feat+(scale_unetfeats*2), kernel_size,
11                                      reduction, bias=bias, act=act) for _ in range(2)]
12
13            self.decoder_level1 = nn.Sequential(*self.decoder_level1)
14            self.decoder_level2 = nn.Sequential(*self.decoder_level2)
15            self.decoder_level3 = nn.Sequential(*self.decoder_level3)
16
17            self.skip_attn1 = CAB(n_feat,                      kernel_size,
18                                reduction, bias=bias, act=act)
```

## Листинг 2.8 – Декодер UNet часть 2

```
1         self.skip_attn2 = CAB(n_feat+scale_unetfeats , kernel_size ,
2                               reduction , bias=bias , act=act)
3
4         self.up21  = SkipUpSample(n_feat , scale_unetfeats)
5         self.up32  = SkipUpSample(n_feat+scale_unetfeats , scale_unetfeats)
6
7     def forward(self , outs):
8         enc1 , enc2 , enc3 = outs
9         dec3 = self.decoder_level3(enc3)
10
11        x = self.up32(dec3 , self.skip_attn2(enc2))
12        dec2 = self.decoder_level2(x)
13
14        x = self.up21(dec2 , self.skip_attn1(enc1))
15        dec1 = self.decoder_level1(x)
16
17        return [dec1 , dec2 , dec3]
```

## Листинг 2.9 – Сеть многоступенчатой прогрессивной реставрации изображения (MPRNet) часть 1

```
1  class MPRNet(nn.Module):
2      def __init__(self , in_c=3, out_c=3, n_feat=96, scale_unetfeats=48,
3                  scale_orsetfeats=32, num_cab=8, kernel_size=3,
4                  reduction=4, bias=False):
5          super(MPRNet, self).__init__()
6
7          act=nn.PReLU()
8          self.shallow_feat1 = nn.Sequential(conv(in_c , n_feat ,
9                                                  kernel_size , bias=bias),
10                                             CAB(n_feat , kernel_size , reduction , bias=bias , act=act))
11          self.shallow_feat2 = nn.Sequential(conv(in_c , n_feat ,
12                                                  kernel_size , bias=bias),
13                                             CAB(n_feat , kernel_size , reduction , bias=bias , act=act))
14          self.shallow_feat3 = nn.Sequential(conv(in_c , n_feat ,
15                                                  kernel_size , bias=bias),
16                                             CAB(n_feat , kernel_size , reduction , bias=bias , act=act))
17
18          self.stage1_encoder = Encoder(n_feat , kernel_size , reduction ,
19                                       act , bias , scale_unetfeats , csff=False)
20          self.stage1_decoder = Decoder(n_feat , kernel_size , reduction ,
21                                       act , bias , scale_unetfeats)
22
23          self.stage2_encoder = Encoder(n_feat , kernel_size , reduction ,
24                                       act , bias , scale_unetfeats , csff=True)
25          self.stage2_decoder = Decoder(n_feat , kernel_size , reduction ,
26                                       act , bias , scale_unetfeats)
```

## Листинг 2.10 – Сеть многоступенчатой прогрессивной реставрации изображения (MPRNet) часть 2

```
1         self.stage3_orsnet = ORSNet(n_feat, scale_orsnetfeats,
2             kernel_size, reduction, act, bias, scale_unetfeats, num_cab)
3
4         self.sam12 = SAM(n_feat, kernel_size=1, bias=bias)
5         self.sam23 = SAM(n_feat, kernel_size=1, bias=bias)
6
7         self.concat12 = conv(n_feat*2, n_feat, kernel_size, bias=bias)
8         self.concat23 = conv(n_feat*2, n_feat+scale_orsnetfeats,
9             kernel_size, bias=bias)
10        self.tail = conv(n_feat+scale_orsnetfeats,
11            out_c, kernel_size, bias=bias)
12
13    def forward(self, x3_img):
14        H = x3_img.size(2)
15        W = x3_img.size(3)
16
17        x2top_img = x3_img[:, :, 0:int(H/2), :]
18        x2bot_img = x3_img[:, :, int(H/2):H, :]
19
20        x1ltop_img = x2top_img[:, :, :, 0:int(W/2)]
21        x1rtop_img = x2top_img[:, :, :, int(W/2):W]
22        x1lbot_img = x2bot_img[:, :, :, 0:int(W/2)]
23        x1rbot_img = x2bot_img[:, :, :, int(W/2):W]
24
25        x1ltop = self.shallow_feat1(x1ltop_img)
26        x1rtop = self.shallow_feat1(x1rtop_img)
27        x1lbot = self.shallow_feat1(x1lbot_img)
28        x1rbot = self.shallow_feat1(x1rbot_img)
29
30        feat1_ltop = self.stage1_encoder(x1ltop)
31        feat1_rtop = self.stage1_encoder(x1rtop)
32        feat1_lbot = self.stage1_encoder(x1lbot)
33        feat1_rbot = self.stage1_encoder(x1rbot)
34
35        feat1_top = [torch.cat((k,v), 3) for k,v in
36            zip(feat1_ltop, feat1_rtop)]
37        feat1_bot = [torch.cat((k,v), 3) for k,v in
38            zip(feat1_lbot, feat1_rbot)]
39
40        res1_top = self.stage1_decoder(feat1_top)
41        res1_bot = self.stage1_decoder(feat1_bot)
42
43        x2top_samfeats, stage1_img_top = self.sam12(res1_top[0], x2top_img)
44        x2bot_samfeats, stage1_img_bot = self.sam12(res1_bot[0], x2bot_img)
```

### Листинг 2.11 – Сеть многоступенчатой прогрессивной реставрации изображения (MPRNet) часть 3

```
1         stage1_img = torch.cat([stage1_img_top, stage1_img_bot], 2)
2         x2top = self.shallow_feat2(x2top_img)
3         x2bot = self.shallow_feat2(x2bot_img)
4
5         x2top_cat = self.concat12(torch.cat([x2top, x2top_samfeats], 1))
6         x2bot_cat = self.concat12(torch.cat([x2bot, x2bot_samfeats], 1))
7
8         feat2_top = self.stage2_encoder(x2top_cat, feat1_top, res1_top)
9         feat2_bot = self.stage2_encoder(x2bot_cat, feat1_bot, res1_bot)
10
11        feat2 = [torch.cat((k,v), 2) for k,v in zip(feat2_top, feat2_bot)]
12
13        res2 = self.stage2_decoder(feat2)
14
15        x3_samfeats, stage2_img = self.sam23(res2[0], x3_img)
16
17        x3 = self.shallow_feat3(x3_img)
18
19        x3_cat = self.concat23(torch.cat([x3, x3_samfeats], 1))
20
21        x3_cat = self.stage3_oronet(x3_cat, feat2, res2)
22
23        stage3_img = self.tail(x3_cat)
24
25        return [stage3_img+x3_img, stage2_img, stage1_img]
```